

変位くい違ひモデルによるAE波形のシミュレーション

福島高専 正○山内正司
東北大 正佐武正雄
東北大 正新閑茂

1. まえがき

AE波形は、材料の局部破壊に関する動的情報を反映したものであり、検出波形から破壊源の特性を推定する手法を確立することは、材料の破壊機構を解明する上で重要な課題の一つであると考えられる。

本文では、以上の問題に対する基礎的なデータを得る目的のもとに、3次元半無限領域内のクラックが伝播する時の応答変位を解析し、破壊源と波形特性の関係、及び波形解析における計測上の問題点などについて考察した。

2. 解析手法

弾性体内部の面領域 Σ に変位のくい違ひ $[U] = U^+ - U^-$ が生じた時、 x_3 の応答変位は

$$u_i(x,t) = \int_{\Sigma} \int_0^t C_{kpg} \nu_k n_i [U(\xi, t-\tau)] G_{ipg}(x, \xi, \tau) d\tau d\Sigma(\xi) \quad \dots \dots \dots (1)$$

となる⁽¹⁾。ここで、 $C_{kpg} = \lambda \delta_{kk} \delta_{pp} + \mu (\delta_{kp} \delta_{pp} + \delta_{pk} \delta_{pp})$ (λ, μ はラムダの定数), ν_k : Σ の単位法線ベクトル成分, n_i : くい違ひ変位の単位ベクトル成分, $G_{ipg} = \frac{\partial}{\partial \xi_i} G_{ip}$; G_{ip} は動的グリーン関数であり, Johnson⁽²⁾により得られた3次元半無限領域の解を用いる。

$[U(\xi, t)]$ は震源過程関数と呼ばれ、本研究では 静的フラップ変位に伝播効果を取り入れ、一方向K一定破壊速度 v で伝播する矩形モデルを仮定した。

$$[U(\xi, t)] = 4\sqrt{\frac{\xi_1}{W}} (1 - \frac{\xi_1}{W}) \left[\left\{ H(t - \frac{\xi_1}{v}) - H(t - \frac{L}{v}) \right\} \sqrt{\xi_1(vt - \xi_1)} + H(t - \frac{L}{v}) \sqrt{\xi_1(L - \xi_1)} \right] \quad \dots \dots \dots (2)$$

ここに、 v は伝播方向Kに対するクラックアスペクト比 $H(t)$ はステップ関数である。

次に、動的グリーン関数 G_{ipg} は一般Kデルタ関数の1回微分の項を含み、式(1)の形では数値積分上に問題がある。Johnson の解において $G_{ipg} = \frac{d^2}{dt^2} G_{ip}$ として与えられるため、式(1)を部分積分によって変形し、式(2)を代入して変数変換 $\xi_1' = \xi_1/L$, $\xi_2' = \xi_2/W$ を行い、更に G_{ipg} から $1/R_B$ の項を取り出すと次式が得られる。

$$u_i(x,t) = \frac{AUV}{R_B} u_i(t, L/R, W/L, v, n, \theta) = \frac{1}{R_B} \frac{AD}{L/v} u_i(t, \cdot, \theta) \quad \dots \dots \dots (3)$$

$(A = \pi RL)$

但し、Rは破壊開始点から観測点までの距離、 β はS波速度、 θ は入射角、Dは最終最大くい違ひである。ADは破壊源の強さを表す量と考えられ、 L/v が破壊継続時間であるから、応答変位は破壊源の強さの平均増加・速度に比例すると解釈される。計算上の諸定数は、モルタルを仮定し、ポアソン比=0.2, P波-S波破壊速度を各々、 $\alpha=4310\text{m/s}$, $\beta=2640\text{m/s}$, $v=0.5\beta$ と定めた。計算は表面の x_3 方向変位 u_3 についてのみ行い、円柱供試体から発生するAEを想定しているため、表面波は対象外とした。

3. 結果と考察

エネルギー強度として、 $I = \int \{u\}^2 dt = \left(\frac{ADv}{R_B L} \right)^2 I$, $\bar{I} = \int \{u\}^2 dt$ と定義すれば、Iは ADv/L の2乗に比例し、 \bar{I} は放熱形式に依存するパラメータとなる。図-3に、入射角が $\theta=30^\circ$ の場合、観測点方向と破壊伝播方向とのなす角 Ω と \bar{I} の関係を示す。 Ω の違いによって \bar{I} が10のオーダー異なり、Iも ADv/L の推定パラメータとなるためには、 Ω を正確に決定することが重要になる。

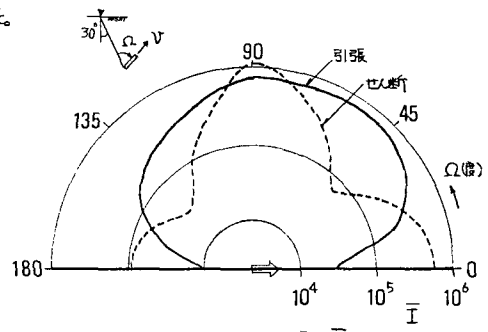


図-3 エネルギー強度 \bar{I}

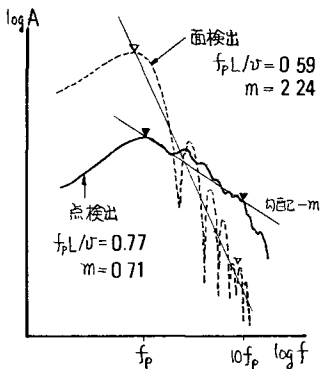


図-4 変位速度スペクトル(P波)

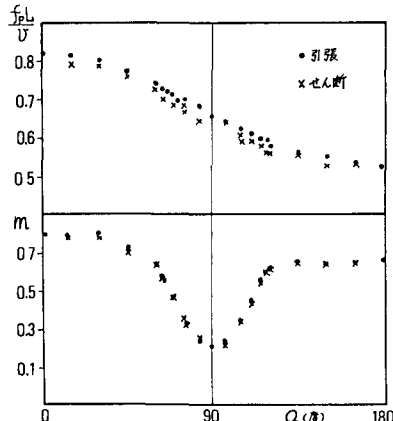


図-5 ドップラー効果による周波数特性の変化

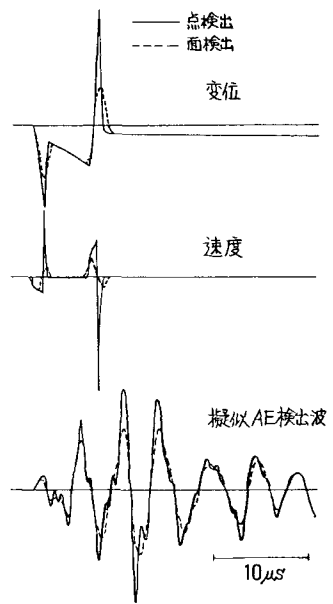


図-6 模似AE検出波形

次に、P波の変位速度スペクトル特性について考察する。変位速度スペクトルの例を図-4に示す。図-5は Ω の変化によって周波数特性が変化するドップラー効果の影響を示したものである。縦軸は上図の場合、スペクトルピークに対応する無次元化された周波数 $f_p L/v$ で、下図では、便宜上図-4に示す様に定義した直線の勾配 m を表わしている。 Ω が 90° から 0° へ変化するに従って、みかけ上の破壊継続時間が短くなり、スペクトルのピークは高周波数側へ移動する。これより、破壊伝播長 L は $L = (0.52 \sim 0.82) v/f_p$ によって推定することができる。スペクトルの勾配 m と Ω の関係は破壊形式に依存せず、震源モデルに固有の関係であると考えられる。

最後に、実験で得られた検出波形から、 f_p, m を決定する際に生ずる問題点について考察する。変換子(AE905S)の速度インパルス応答⁽³⁾を用いて計算された模似AE波形を図-6に示す。 $(\theta=30^\circ, \Omega=45^\circ, R=4\text{cm}, L=0.2\text{cm})$ 点検出と考えた実線の模似AE波形から f_p を決定する場合、変換子が位相遅れを伴う共振特性を持っているため、入力波から以前の波形を取り出し、フーリエ変換後、変換子の伝達関数によて補正する方法では、入力P波の真の f_p は得られない。時間変化する変換子の応答特性を考慮した補正手法をとる必要があると考えられる。次に、図-6の破線で示された波形は、入力波が検出面(直径8mm)にわたって平均化されると考えた場合のもので、両者のスペクトルの違いは図-4の様になる。面検出の場合、フィルター効果により高周波数成分が相対的にカットされ、 f_p も変化する。入射角 θ が大きい程、変換子までの距離が短い程、この効果が著しい。波形特性のばらつきが、全く異なる震源過程によるものか、あるいは、以上の様なフィルター効果によるものか、今後検討を要する。

4 あとがき

本文で得られた結果を要約すると、1)ここで仮定した震源モデルに基づけば、破壊伝播長 L は $L = (0.52 \sim 0.82) \cdot v/f_p$ により推定されるが、検出波形から f_p を決定する方法に問題点がある。また、2)変換子の面検出による波形構造が大きく変化し、要するに震源過程を推定する可能性がある。

最後に、本文で用いた震源モデルは、破壊速度 v と伝播長 L を独立に与える kinematic モデルに属する。実験によれば、破裂は加速・減速⁽⁴⁾、かつ、 L は平均破壊速度に関係し、力学的条件により決定される。この挙動を考慮して詳細な議論は、動的破壊力学に基づいてダイナミックモデルによらなければならぬ。

参考文献

- 1) Burridge, R & Knopoff, L, J BSSA, 54, 1875~1888 (1964), 2) Johnson, L R, Geophys J RAS., 37, 99~131, (1974)
- 3) 山内, 根本; 福島高専紀要, 18.1, (1982), 4) Fast fracture and Crack arrest, ASTM STP627, (1977)